

(HUANJING KEXUE)

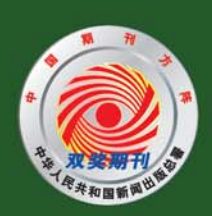
# ENVIRONMENTAL SCIENCE

第33卷 第8期

Vol.33 No.8

2012

中国科学院生态环境研究中心 主办



### 新始章 (HUANJING KEXUE)

### ENVIRONMENTAL SCIENCE

第33卷 第8期2012年8月15日

### 目 次

南海北部大气气相多溴联苯醚的含量及来源	)
河北路家口市十气污染视测研究 如平 王莉莉 安後琳 周彦丽 王斯里(2538	í
中一, 上型型, 文 医型, 四型, 四型, 四型, 四型, 四型, 四型, 四型, 四型, 四型, 四	/
八二中四加几氧化夹氧生成伯生的烟务相快级。	)
南海北部大气气相多溴联苯醚的含量及来源            李琦路,李军,刘向,徐维海,张干(2533)河北张家口市大气污染观测研究	)
厨余垃圾堆肥过程中恶臭物质分析 张红玉,邹克华,杨金兵,季国学,杨青原,张锋(2563)	)
北京城市生态系统地表水硝酸盐污染空间变化及其来源研究 徐志伟,张心昱,任玉芬,孙晓敏,王效科,王升忠(2569)	)
枯、平、丰水期长江3条支流表层水中多氯联苯的分布特征及风险评价	_
本見 拟直修 图版在 增働 扇柏宝 呈正面 建贮住 柳铀(2574)	`
李昆,赵高峰,周怀东,曾敏,廖柏寒,吴正勇,张盼伟,柳敏(2574) 三峡库区丰水期表层水中酚类的分布特征及潜在风险··········吴正勇,赵高峰,周怀东,李科林,李昆,张盼伟(2580) 东湖表层水体中全氟辛酸和全氟辛磺酸空间分布特征	′
二映件区于小别表层水中的关的分布特征及宿住风险	)
东湖表层水体中全氟辛酸和全氟辛磺酸空间分布特位	
	1
三峡库区大宁河与磨刀溪重金属污染特征 安立会,张艳强,郑丙辉,刘玥,宋双双,李子成,陈浩,赵兴茹,林进(2592	)
上江北至丰昌河和州市人居污洗桂江及开太团险州证价。	΄
人在小尔衣区/UN/初里亚周行来行进及主心/NECETTII 工厂,工厂,工厂,工厂,工厂,工厂,工厂,工厂,工厂,工厂,工厂,工厂,工厂,工	/
江办如尔滩床以关系组L衣层仍依物中里盖周米源分析及其俗任生物每性 ······ 学新,王云龙,将玖,哀箓,沉新速(2007)	)
扰动强度对太湖沉积物中瞬释放及具形态转化的影响 李大鹏, 黄男(2614	)
干流倒灌异重流对香溪河库湾营养盐的补给作用 张宇,刘德富,纪道斌,杨正健,陈媛媛(2621	)
常年淹水和干旱对三峡库区消落带菖蒲牛长恢复的影响 ············ 李强,高祥,丁武泉,朱启红,欧媛,刘瑜(2628)	)
温州城市降雨经流磷的负荷及其初始冲刷效应 周栋 陈振楼 毕奏娟(2634	í
加力效用中的压加两角及对内外内效应 内体,体制及 2004	′
7. 一个一个一个一个一个一个一个一个一个一个一个一个一个一个一个一个一个一个一个	/
<b>城郊农业区小流域土地利用结构对观案输出的影响</b>	)
基于 AnnAGNPS 模型四岭水库小流域氮磷流失特征的模拟研究 边金云,王飞儿,杨佳,俞洁,楼莉萍,俞丹萍(2659)	)
基干 GIS 和 L-THIA 模型的深圳市观澜河流域非点源污染负荷变化分析 ·················· 白凤姣, 李天宏(2667)	)
黄十斤陵区坡面水蚀对降雨和下热面微观格层的响应	í
展上上版区次周小岛内下的相干主用版加田内田市应 上市,从面看,你们成,久不干,你全(2017)。 理心组验对伊萨哈勒司宁田龄十阶对比亚宏 国弘	′
强化化碳乙烯组胺和角生胺乙烯对比明尤	/
几龙江下游水源水中新发病原做生物和抗生系抗性基因的定量 PCR 检测 ······ 土育, 林惠宋, 张舒婷, 丁鑫(2685)	)
布吉河丰水期总细菌和氨氧化细菌的定性和定量研究 孙海美,白姣姣,孙卫玲,邵军(2691	)
曝气牛物滤池工艺脱氮性能及反硝化细菌群落结构特征研究 彭晓兰 刘聪 陈吕军(2701	)
城市污水处理厂氧化沟工艺微生物种群分析 郭云 杨殿海 卢文健(2709)	ĺ
MP17/XZ左/ 中4 に内工   MT17 W	′
IC 区型确处理牌组及外的双形及共假生物研格到签定物	)
原于刀显领镜液池成像技不应用于微案疑过滤上艺过程中的头粒余件优化	
	)
UV/H,Q, 法对印染废水生化出水中不同种类有机物的去除效果 ····································	
三峡库区大宁河与磨刀溪重金属污染特征	)
蛋白核小球藻 Chlorella pagenoidesa 15 的是美拉美条件代化及完化美丽	/
里口仅小环保 Guoreua pyrenouosa-13 的开介和介示目记忆又行小介理	`
工务铈, 学孔胜, 邢旭风, 学早媛, 泉红利, 彻金水(2735)	)
"Feº/优势脱氯菌"体系降解 2,4,6-TCP 特性及机制研究 戴友芝,郭丽丽,史雷,刘智勇,高宝钗( 2741 ]	)
树脂 D201 上粗漆酶的固定化及对孔雀石绿的脱色 ················· 戚绪亮,刘翔,刘波,王林,王小春,方超(2747	)
TiO /PS/Fe O 光催化剂的低温制备及其光催化和磁回收性能 ········· 王雪姣 任学昌 念娟妮 肖举强 王刚 常青(2752)	ĺ
海流加热下菜的保化氧化种棕研究 2752	ί.
	/
到术做材协问解偶联剂作用了活性污泥性能的研究····································	)
好氧颗粒污泥沉降选择实验研究与定量描述	)
要新, 刘勇弟, 孙贤波, 徐宏勇, 钱飞跃, 季欣珏, 季暮(2728 蛋白核小球藻 Chlorella pyrenoidosa-15 的异养培养条件优化及污水养殖 ————————————————————————————————————	
微生物营养剂浓度对生物沥浸法促进城市污泥脱水性能的影响 … 宋永伟,刘奋武,周立祥(2786	ĺ
办企文外下达藏结正对低温处图陆总的响应上微结构亦作。	′
大业至示厅上通保和区外队伍几点即见时啊四寸网扣門文化 "" " " " " " " " " " " " " " " " " " "	/
四角地区泰巴小伯里拉在生物件的学习初心 美耙, 江长胜, 郝庆匆(2804	)
典型 以他 采地 土	)
土壤铜硒复合污染中金属形态转化及其对生物有效性的影响 胡斌,梁东丽,赵文龙,缪树寅(2817	)
十壤微生物群落对多环芳烃污染土壤生物修复过程的响应 张晶 林先贵 刘魏魏 尹睿(2825)	)
可可毛布一面菌对作化厂土壤全环苯烃污浊條管 华丰远 王翼蓝 刘海滨 苏红文(2832	í
17.1 LU―12四川   17.1	/
) 四余山坳坝 尾砂中侧里几条的MIGA 实验研究 ————————————————————————————————————	)
北京中近郊区土壤岬系积特征	)
抗氧化酶基因作为多环麝香污染分子标志物研究 陈春,周启星,刘萧威(2855	)
臭氧污染对不同品种小麦干物质与生物量碳积累与分配的影响 寇太记. 于伟伟. 朱建国. 朱新开(2862)	)
尿素分解共沉淀法中反应时间对 ZnAI 类水滑石结构和磷吸附件能的影响 味並 程類	ĺ
奶和届窗字子在班坐牧主碟在写上的音先때队引出中国研究。	′
田州即四月了江河小江至野州公山上的九中欧阳列月子则九 明日日,它龙,工卫于,可及风,周东夫(28/3)	)
pH 和 Ni 对人 L	)
铀在凹凸棒石上的吸附特性与机制研究 刘娟,陈迪云,张静,宋刚,罗定贵(2889)	)
环丙沙星在潮土中的吸附特性 崔皓 干淑平(2895	)
中高温区水合肼 SNCR 脱硝反应机制和特性研究	(
- 「 P 3 mm ニ/ 3 * ロ / 1/ 2 * 2 * 2 / 2 / 2 / 2 / 2 / 2 / 2 / 2	)
HS选择性健化氧化工艺及催化剂研究和状	)
H <sub>2</sub> S选择性催化氧化工艺及催化剂研究现状	)
微生物营养剂浓度对生物沥浸法促进城市污泥脱水性能的影响 宋永伟,刘奋武,周立祥(2786 实验室条件下蓝藻结皮对低温光照胁迫的响应与微结构变化 饶本强,李华,熊瑛,兰书斌,李敦海,刘永定(2793 西南地区紫色水稻土活性碳库的季节动态 吴艳,江长胜,郝庆菊(2804 典型设施菜户菜中金属形态转化及其对生物有效性的影响 胡斌,梁东丽,赵文龙,缪树寅(2817 土壤铜硒复合污染中金属形态转化及其对生物有效性的影响 胡斌,梁东丽,赵文龙,缪树寅(2817 土壤铜硅、物群落对多环芳烃污染土壤生物修复过程的响应 张晶,林先贵,刘魏魏,尹睿(2825 可可毛色二孢菌对焦化厂土壤多环芳烃污染修复 张志远,王翠苹,刘海滨,孙红文(2832 广西茶山锑矿尾砂中微量元素的淋滤实验研究 蔡永兵,李玲,魏晓飞,张国平,李海霞,付志平(2840 北京市近郊区土壤砷累积特征 版洁,王美娥,汪自强,欧阳志云(2849 抗氧化酶基因作为多环麝香污染分子标志物研究 蔡永兵,李玲,魏晓飞,张国平,李海霞,付志平(2840 抗氧化酶基因作为多环麝香污染分子标志物研究 废太记,于伟伟,朱建国,朱新开(2862 原素分解共沉淀法中反应时间对 ZnAl 美水滑石结构和磷吸附性能的影响 宽太记,于伟伟,朱建国,朱新开(2862 原素分解共沉淀法中反应时间对 ZnAl 美水滑石结构和磷吸附性能的影响 陆英,程翔,邢波,孙中思,孙德智(2868 铅和铜离子在纳米羟基磷灰石上的竞争吸附动力学研究 胡田田,仓龙,王玉军,司友斌,周东美(2875 pH 和 Ni² 对人工纳米氧化硅吸附菲的影响 罗沛,孙红文,张鹏(2882 铀在凹凸棒石上的吸附特性 别别研究 刘娟,陈迪云,张静,宋刚,罗定贵(2889 环丙沙星在潮土中的吸附特性 刘相研究 郑傅,定选择性催化氧化工艺及催化剂研究现状	)

### 膜生物反应器处理甲苯性能及机制

叶杞宏,魏在山\*,肖盼,李华琴,张再利,樊青娟

(中山大学环境科学与工程学院,广东省环境污染控制与修复技术重点实验室,广州 510275)

摘要:采用膜生物反应器处理甲苯有机废气,研究了进气浓度、停留时间、循环液喷淋密度和 pH 值对甲苯去除率的影响. 膜生物反应器能高效净化挥发性有机废气,甲苯去除率可达 99%. 适宜运行条件为: pH 值为 7.2、停留时间为 6.4 s、循环液喷淋密度为 2.5 m³·(m²·h)  $^{-1}$ .采用 GC-MS 分析出口气样,研究结果表明乙醛酸( $C_2H_2O_3$ )和乙烯基甲酸( $C_3H_4O_2$ )为甲苯生物降解的中间产物. 膜生物反应器处理甲苯机制为甲苯气体通过中空纤维膜传质到生物膜,被生物降解为乙醛酸和乙烯基甲酸,然后继续好氧降解为最终产物二氧化碳和水.

关键词: 膜生物反应器: 挥发性有机物(VOCs): 甲苯

中图分类号: X701 文献标识码: A 文章编号: 0250-3301(2012)08-2558-05

# Mechanism and Performance of a Membrane Bioreactor for Treatment of Toluene Vapors

YE Qi-hong, WEI Zai-shan, XIAO Pan, LI Hua-qin, ZHANG Zai-li, FAN Qin-juan

(Guangdong Provincial Key Laboratory of Environmental Pollution Control and Remediation Technology, School of Environmental Science and Engineering, Sun Yat-sen University, Guangzhou 510275, China)

**Abstract**: The performance of a membrane bioreactor for treatment of toluene as a model pollutant is presented. Effects of toluene inlet concentration, residence time, spray density and pH of liquid phase on the toluene removal rate were evaluated. The experimental results showed that the toluene removal efficiency reached 99%. The optimal pH, residence time and spray density were 7.2, 6.4 s and 2.5 m<sup>3</sup>·(m<sup>2</sup>·h)<sup>-1</sup>, respectively. The gas-phase biodegradation intermediate products were acetaldehyde acid ( $C_2H_2O_3$ ) and vinyl formic acid ( $C_3H_4O_2$ ), which were identified by means of gas chromatography/mass spectrometry (GC/MS). The mechanism of toluene degradation using a membrane bioreactor can be described as the combination of mass transfer from hollow fiber membrane to biofilm and biological degradation. Toluene ( $C_6H_5CH_3$ ) and oxygen diffused from the gas phase to the wet layer of the biofilm and were then consumed by the microbial communities. Toluene was oxidized to the intermediate organic products such as acetaldehyde acid ( $C_2H_2O_3$ ) and vinyl formic acid ( $C_3H_4O_2$ ), and the intermediate products were then converted to  $CO_2$  and  $CO_3$  through continuous biological oxidation reactions.

Key words; membrane bioreactor; volatile organic compounds (VOCs); toluene

挥发性有机物(volatile organic compounds, VOCs)是一类常见大气污染物,大多具有毒性,部分已被列入致癌物;当 VOCs 含量达到一定浓度时,人会感到头痛、恶心、呕吐、乏力等症状,严重的还会出现昏迷,甚至会伤害人的肝脏、肾脏和神经系统,对环境、动植物的生长及人类健康造成巨大的危害[1].

目前挥发性有机物处理方法有吸附法、吸收法、冷凝法、膜分离法、气提法、蒸馏法、等离子体法、直接燃烧法、催化法和生物法等. 与物理化学方法相比,生物法具有运行费用低、无二次污染等优点. 采用生物填料塔处理低浓度甲苯有机废气的工业应用,生物净化效率可保持在 90% 左右<sup>[2]</sup>. 采用恶臭假单胞菌为菌源接种的生物滴滤塔处理含甲苯 废 气, 最 大 体 积 去 除 负 荷 可 达 105. 35 g·(m³·h) <sup>-1[3]</sup>. 国外采用生物过滤、堆肥基床、废

物为填料的生物过滤处理甲苯气体[4~7].

传统生物法处理废气主要通过气液传质、生物膜吸附和生化降解. 挥发性有机气体大多难溶于水,气液传质速率慢,因此传统生物净化设备如生物洗涤塔、生物滤池、生物滴滤池等处理有机废气具有一定的局限性. 膜生物反应器 (membrane biofilm reactor, MBfR)作为一种新型废气生物处理方法,将膜分离技术与生化反应器相结合,充分利用气体膜传质和微生物处理废气中有机污染物,通过膜材料提高传质效果,并提供较大的比表面积作为生物降解的传质界面,增强了降解效果<sup>[8]</sup>,它作为最具发展潜力的工业废气处理方法之一,愈来愈受到人们

收稿日期: 2011-10-04; 修订日期: 2012-02-12

基金项目: 广东省科技计划项目(2011A030700010);企业委托横向项目(7102651,7101614)

作者简介: 叶杞宏(1989~),男,硕士研究生,主要研究方向为废气生物处理新技术,E-mail;283737880@qq.com

\* 通讯联系人, E-mail: wzs89@126.com

的重视. 中空纤维膜生物反应器处理二甲苯,净化效率可达 92% [9],采用复合型平板膜生物反应器净化甲苯 废气,获得了最大生化降解量 609 g·(m³·h) -1 [10]. 本研究采用中空纤维膜生物反应器处理甲苯有机废气,考察影响因素并研究降解过程机制,以期为挥发性有机废气的膜生物处理反应器产业化应用奠定基础.

#### 1 材料与方法

#### 1.1 实验装置与方法

膜生物反应器处理甲苯有机废气的实验流程如 图 1 所示. 膜生物反应器是由自制的中空纤维膜组 件,它由聚偏氟乙烯(PDVF)制成,微孔平均孔径为 0.01~0.1 μm,单根中空纤维膜外径为450 μm,壁厚 40~50 μm. 整个膜生物反应器的内径为 70 mm,长 190 mm. 膜的容积为 106 mL. 挥发性有机废气采用动 态法配制,甲苯气体与压缩机空气混合后从器底进入 膜生物反应器,在上升的过程中混合气体由膜内扩散 传质至膜外的生物膜表面,与湿润生物膜接触被微生 物降解,净化后的气体从器顶排出.实验在常温(16~ 29℃)下进行,采用逆流操作,循环液体从顶向下喷 淋,在中空纤维膜外自上向下流动,由底排出至循环 液储槽,再由循环水泵抽回膜生物反应器顶. 定期向 循环液储槽投加氮磷营养液,维持微生物的生长繁殖 活动. 实验用微生物来自某生活污水处理厂的曝气池 活性污泥. 利用筛选驯化获得的微生物菌种, 直接在 膜生物反应器进行动态培养和挂膜.

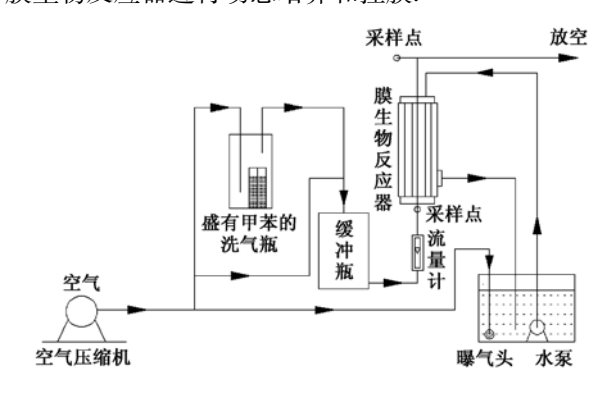


图 1 膜生物反应器处理甲苯废气实验流程示意

Fig. 1 Schematic diagram of the MBfR for toluene removal

#### 1.2 分析方法

甲苯气体浓度采用美国 RAE Systems 的 PGM-7600 型挥发性有机物(VOCs)检测仪监测;气体流量用玻璃转子流量计测定,测量范围为 0.06 ~ 0.6 L·min<sup>-1</sup>;循环液 pH 值用上海三信仪表厂的 pHB-3 型笔式 pH 计测定.

气相色谱-质谱联用仪(GC-MS)分析方法:采用固体吸附-加热解吸的方法处理气体样品.采用Tenax-TA和 5A分子筛复合材料作为吸附剂,采样管内径 6.0 mm,长 25 cm;前段装 200 mg Tenax-TA吸附剂,后段装 200 mg 5A分子筛,两端用不锈钢筛网堵住.使用前通高纯氮气,250℃老化 2 h.色谱柱为石英毛细管气相色谱柱(30 m×0.25 mm.i.d.×0.25  $\mu$ m),初始柱温为 50℃,保持 5 min后以 8℃·min<sup>-1</sup>升至 160℃,保持 10 min,再以 20 ℃·min<sup>-1</sup>升至 220℃,保持 5 min.载气为高纯氦气(纯度为99.99%),柱流量为 1.0 mL·min<sup>-1</sup>,以 1mL 玻璃注射器吸取解吸气体手动进样,进样气量为 1 mL,流比为 10: 1. 色谱-质谱接口温度 230℃; EI 源,电子能量:70 eV;离子源温度 220℃;全扫描(Scan)方式定性,质量扫描范围为:15~500 u.

#### 2 结果与分析

#### 2.1 膜生物反应器运行稳定性

在进气质量浓度为 25~250 mg·m<sup>-3</sup>,循环液 pH 值为 6.5~7.5, 喷淋密度为 1~5 m³·(m²·h)<sup>-1</sup>, 进气速率为0.2 L·min<sup>-1</sup>的条件下,膜生物反应器处 理甲苯废气的连续运行 31 d,实验结果如图 2 所示. 膜生物反应器在挂膜的第1~3 d,甲苯的去除效率 达到88%;第4d便有明显下降趋势,第5d甲苯去 除率达到最低73.3%;从第6d起甲苯去除率逐渐 升高,直至第24 d 达到97.9%,之后渐趋稳定,并最 终稳定在 98% 左右, 最高可达 99%. 系统启动 3 d 内保持较高的甲苯去除率,分析其原因是由于中空 纤维膜的表面积比较大、传质效果好,甲苯通过中 空纤维膜后即被悬浮污泥吸附,进而降解,所以出气 口甲苯浓度较低,净化效率较高. 第4~5 d 甲苯去 除率下降,是因为膜生物反应器没有完成生物挂膜, 生物降解甲苯能力较弱,膜内甲苯足够富集,膜分离 甲苯通过气液传质到生物膜不能完全降解,同时生 物膜的形成为传质过程增加了额外的阻力;这与国 内学者研究平板膜生物反应器处理甲苯现象相 似[11]. 第6~24 d 甲苯去除率逐渐升高,由73.3% 增加到97.9%,说明中空纤维膜表面的生物膜已形 成,生物膜内可降解甲苯有机物的微生物生长活跃, 以甲苯为唯一碳源,进行生长和正常的新陈代谢,具 备了甲苯降解能力. 在甲苯气体进气质量浓度为 200~250 mg·m<sup>-3</sup>, 进气速率为 0.2 L·min<sup>-1</sup>, 循环 液喷淋密度为 2.5 m3·(m2·h) -1,循环液 pH 值为 7.2 的条件下,第24~31 d 甲苯去除率基本稳定,最 高净化效率达99%.

按照吸附-生物膜理论,挥发性有机物等污染物 吸附在生物膜表面后,会被微生物捕获,并降解为 CO, 和 H,O, 由生物化学法吸收时为气膜控制. 按照 吸收-生物膜理论,甲苯有机废气成分首先同水接触 并溶于水中,由气相转移到液相;污染物被生物膜 吸附,有机成分被微生物吸收;微生物将污染物转 化为无害的化合物[12]. 传统生物过(滴)滤装置处理 甲苯有机废气,实现有机废气的第一步必须将污染 物从气相转移到液相或生物膜表面. Henry 常数是 衡量气液传质效果的指标,25℃甲苯的 Henry 常数 为 6.73 × 10<sup>-4[13]</sup>, 甲苯难溶于水, 气液传质速率 慢,传统生物过(滴)滤法对甲苯的去除能力较 小[9]. 膜生物反应器(MBfR)是利用中空纤维膜传 质和微生物处理废气中甲苯有机废气,气相主体的 污染物通过中空纤维膜,向液相主体一侧扩散,由于 中空纤维膜具有较大的气液界面和优良的传质性 能,提高了传质效果: 并提供较大的比表面积作为 生物降解的传质界面,有利于微生物的增长并提高 单位体积的生物量,可提高对甲苯去除效率和容积 负荷率,增强了生物降解效果,对难溶于水的废气的 处理有较大潜能.

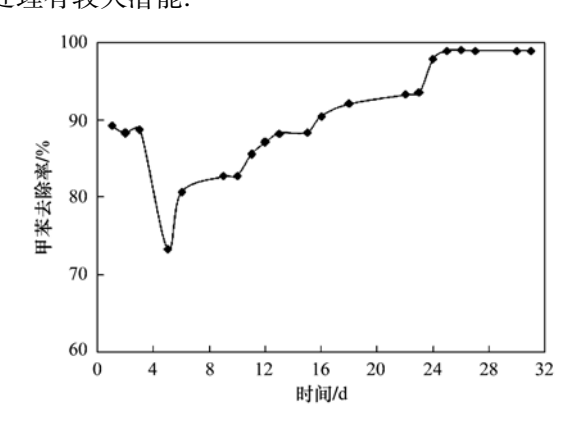


图 2 膜生物反应器长时间运行曲线

Fig. 2 Long-term run curve of the MBfR

#### 2.2 进气浓度对甲苯去除率的影响

在进气速率为 0.2 L·min<sup>-1</sup>, pH = 7.2, 喷淋密度为 3 m³·(m²·h)<sup>-1</sup>, 温度为 23℃的条件下,进气浓度对甲苯去除率的影响如图 3 所示. 在进气质量浓度为 9~361 mg·m<sup>-3</sup>的范围内,随着进气浓度逐渐升高,甲苯的去除率相对稳定在 96.9%以上. 当进气质量浓度高于 361 mg·m<sup>-3</sup>, 甲苯净化效率有明显的下降趋势,在进气质量浓度为 512 mg·m<sup>-3</sup>的时候,甲苯去除率为 93%. 分析原因有二:①膜生物反应器的容积有限,甲苯的生物降解量也有限. 随着浓

度的增大,甲苯的生物降解量随之增大,当生物降解量达到满负荷的时候,净化效率出现明显的下降.②通过动态制气法得到甲苯废气,在气体流量一定的情况下,氧气含量一定,而混合甲苯的进气浓度越高,则意味着氧气含量与甲苯含量的比例越低,氧气的传质效果下降.膜生物反应器处理甲苯属于好氧系统,氧气含量不足会抑制微生物的活性,好氧趋向厌氧发展,最终使得甲苯去除率下降[13].PDVF 膜对氧的通量会较好,生物膜中主要的甲苯降解菌在通常情况下都为好氧细菌,生物循环水的溶解氧(DO)值应控制在3.5 mg·L<sup>-1</sup>以上,一旦生物循环水的DO值<3.5 mg·L<sup>-1</sup>以上,一旦生物循环水的基至厌氧导致甲苯降解微生物活性降低,去除率下降,则需通过曝气装置使 DO值保持在3.5 mg·L<sup>-1</sup>以上.

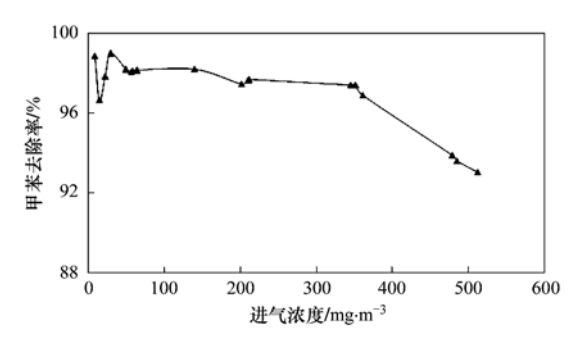


图 3 进气浓度对甲苯去除效率的影响曲线

Fig. 3 Influence of inlet concentration on toluene removal efficiency

#### 2.3 气体停留时间对甲苯去除率的影响

中空纤维膜生物反应器的停留时间以膜的容积 即参与反应的膜的容积计算[13],以膜的容积计算甲 苯气体停留时间,进气速率为0.1~1.0 L·min<sup>-1</sup>,相 应的气体停留时间为 6.4~64 s. 在喷淋密度为 3  $m^3 \cdot (m^2 \cdot h)^{-1}$ 、进气浓度为 340  $mg \cdot m^{-3}$ 、pH = 7.2 的实验条件下,甲苯去除率随气体停留时间的变化 如图 4 所示. 可见,停留时间为 6.4 s 时甲苯去除率 已达94.9%,随着气体停留时间延长,膜生物反应 器对甲苯气体的去除率逐渐增大,当停留时间延长 到21 s时,甲苯去除率基本稳定在98%左右.因此 适宜的气体停留时间为 6.4 s,此时甲苯去除率 94%以上. 气体停留时间越长就越有利于气体膜分 离、气液传质和生物降解,可实现对目标废气的去 除,因此延长气体停留时间有利于生物膜对甲苯的 充分降解: 但气体停留时间的延长将增大膜生物反 应器的体积,增加设备投资,所以工程应用应选择适 宜停留时间,既能有效去除目标废气,又能降低设备 费用.

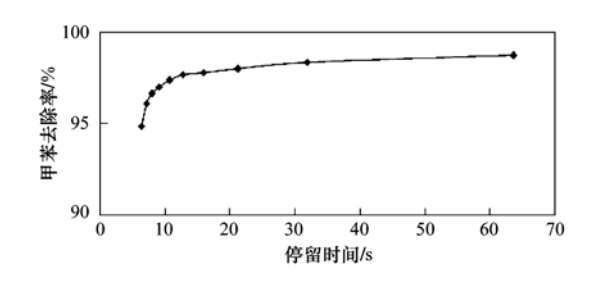


图 4 停留时间对甲苯去除率的影响曲线

Fig. 4 Influence of residence time on toluene removal efficiency

#### 2.4 喷淋密度对甲苯去除率的影响

生物循环喷淋液供给微生物正常代谢所必需的 氮、磷及其它一些微量元素,产生的湿度环境有利 于微生物生存,带走老化生物膜、促进新生物膜生 成,让整个膜生物反应器系统保持稳定生物净化能 力. 在进气浓度为 340 mg·m<sup>-3</sup>, 进气速率为 0.2 L·min<sup>-1</sup>,循环液 pH 为 7.2 条件下,调节喷淋密度 的范围为 0.15~4.21 m³·(m²·h)-1,循环液喷淋密 度对甲苯去除率的影响如图 5 所示. 从中可知,随着 喷淋密度增大,甲苯去除率先增大而后平稳;喷淋 密度由 0.15 m³·(m²·h)-1 增加到 2.35 m<sup>3</sup>·(m<sup>2</sup>·h)<sup>-1</sup>, 甲苯去除率由 96.9% 增加到 98.4%;但进一步增大喷淋密度,甲苯去除率维持 在98.5%左右,这是因为甲苯为挥发性物质且难溶 于水,增大循环液喷淋液量不利于气流甲苯与生物 膜实现有效传质. 因此,在实际操作中循环液喷淋量 只需要达到润湿生物膜即可[13],这样也使得生产过 程中的运行费用降低.

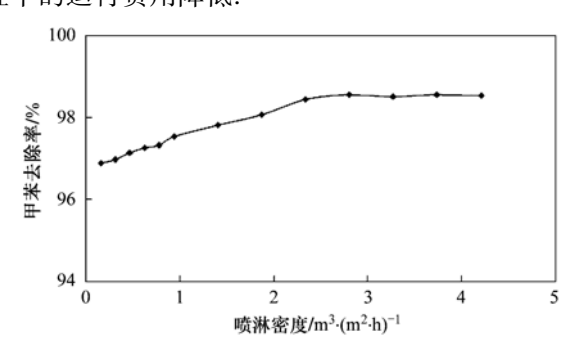


图 5 喷淋密度对甲苯去除率的影响曲线

Fig. 5 Influence of spray density on toluene removal efficiency

#### 2.5 循环液 pH 值对甲苯去除率的影响

pH 值对微生物生长十分重要,直接影响微生物的生物活性. 采用 NaOH 或 HNO<sub>3</sub> 水溶液调节循环液 pH 值. 在进气浓度为 340  $\text{mg·m}^{-3}$ ,进气速率为 0.2  $\text{L·min}^{-1}$ ,喷淋密度为 2.5  $\text{m}^{3}$ ·( $\text{m}^{2}$ ·h)  $^{-1}$ 条件下,循环液 pH 值对甲苯去除率的影响如图 6 所示. pH 值为 7.0 ~ 7.5 时,它对生物膜的降解能力影响

较小,甲苯去除率可维持在 98% 以上,但当 pH 值 <7.0或 >7.5 时,甲苯去除率明显降低. Kim 等<sup>[14]</sup> 采用膜生物反应器净化甲苯废气的实验中,采用 NaOH 水溶液调节把 pH 值控制在 7.2,而 Kumar 等<sup>[15]</sup>则把 pH 值调节在 7.3 ~7.5 的范围内;降解甲苯的微生物适宜生长在中性或偏碱的环境中,当环境处于偏酸性的时候,微生物活性被抑制,降解甲苯能力会下降. 在膜生物反应器正常运行的情况下,降解甲苯的循环液 pH 值变化较小,但系统受到其它污染物影响而致 pH 值下降的时候,应尽快调节循环液 pH 值,确保微生物处于适宜的生长环境并且系统运行稳定.

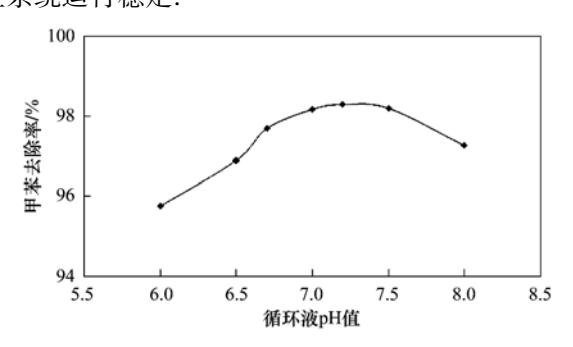


图 6 循环液 pH 对甲苯去除率的影响曲线

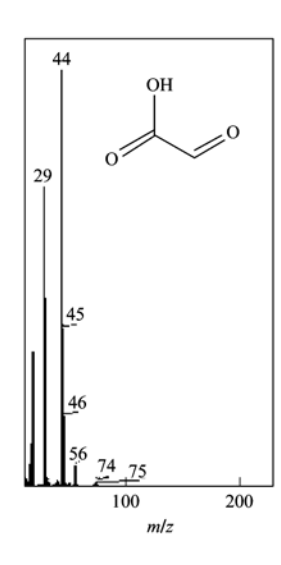
Fig. 6 Influence of pH on toluene removal efficiency

#### 2.6 GC-MS 分析与反应过程机制探讨

在膜生物反应器处理甲苯气体的稳定运行期,采集膜生物反应器出口气体样品,并利用气相色谱-质谱联用仪(GC-MS)进行分析样品,通过质谱库搜索可定性确定气样的组分,出口气体组分 GC-MS 分析结果如图 7 所示. 出气口气体中检测出 3 种物质:乙醛酸( $C_2H_2O_3$ ,m/z=74)和乙烯基甲酸( $C_3H_4O_2$ ,m/z=72)和二氧化碳( $CO_2$ ). 乙醛酸( $C_2H_2O_3$ )和乙烯基甲酸( $C_3H_4O_2$ )是不完全氧化的中间产物, $CO_2$ 是甲苯生物降解的最终产物.

甲苯的代谢途径是先通过甲苯单加氧酶或双加氧酶形成邻苯二酚中间产物,然后通过邻位切割或间位切割开环<sup>[16]</sup>.根据 GC-MS 分析测试结果,可推导出甲苯的膜生物降解途径如图 8 所示.第一步,甲苯气体与膜接触,在膜的表面溶解产生的浓度梯度使气体在膜中向前扩散,到达膜的另一侧被生物膜捕获;第二步,甲苯被好氧生物降解,通过甲苯双加氧酶得到关键中间产物 3-甲基邻苯二酚或顺甲苯二氢二醇,然后在邻苯二酚 2,3 双加氧酶的作用下开环进入三羧酸循环<sup>[16]</sup>;继续生物降解为乙醛酸和乙烯基甲酸等气相中间产物;乙醛酸和乙烯基甲酸继续被好氧生物降解,最终分解为二氧化碳和水.





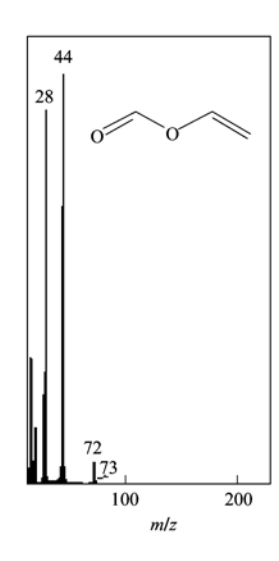


图 7 甲苯生物降解出口气体组分 GC-MS 分析

Fig. 7 Gas chromatographic-mass spectrometry of outlet stream samples from toluene biodegradation

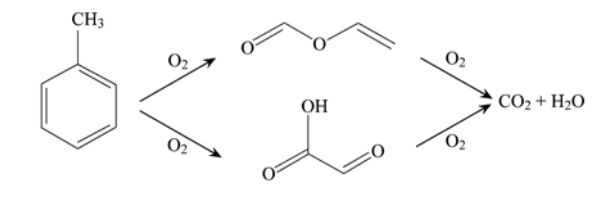


图 8 甲苯生物降解途径

Fig. 8 Proposed biodegradation pathways of toluene

#### 3 结论

- (1)采用膜生物反应器能够有效净化甲苯气体,甲苯去除率可达99%. 适宜运行参数为:循环液喷淋密度为 2.5 m³·(m²·h)<sup>-1</sup>,循环液 pH 值为 7.2,停留时间为 6.4 s.
- (2) GC-MS 分析研究结果表明乙醛酸(C<sub>2</sub>H<sub>2</sub>O<sub>3</sub>)和乙烯基甲酸(C<sub>3</sub>H<sub>4</sub>O<sub>2</sub>)为甲苯生物降解的中间产物. 膜生物反应器处理甲苯机制为甲苯气体通过中空纤维膜传质到生物膜,被生物降解为乙醛酸和乙烯基甲酸,然后继续好氧降解为最终产物二氧化碳和水.

#### 参考文献:

- [1] 伊冰. 室内空气污染与健康[J]. 国外医学(卫生学分册), 2001, **28**(3): 167-169.
- [2] 杨显万, 孙珮石, 黄若华, 等. 生物法净化低浓度挥发性有机废气研究[J]. 中国工程科学, 2001, **9**(3): 64-68.
- [3] 张书景, 李坚, 李依丽, 等. 恶臭假单胞菌生物滴滤塔净化 甲苯废气的研究[J]. 环境科学, 2007, **28**(8): 1866-1872.
- [4] Hwang S J, Tang H M. Kinetic behavior of the toluene biofiltration process [J]. Journal of the Air & Waste Management Association, 1997, 47(6): 664-673.
- [5] Delhoménie M C, Bibeau L, Bredin N, et al. Biofiltration of air contaminated with toluene on a compost-based bed [J].

- Advances in Environmental Research, 2002, 6(3): 239-254.
- [6] Singh R S, Agnihotri S S, Upadhyay S N. Removal of toluene vapour using agro-waste as biofilter media [J]. Bioresource Technology, 2006, 97(18): 2296-2301.
- [7] Znad H T, Katoh K, Kawase Y. High loading toluene treatment in a compost based biofilter using up-flow and down-flow swing operation [J]. Journal of Hazardous Materials, 2007, 141(3): 745-752.
- [8] Zhao W T, Huang X, Lee D J. Enhanced treatment of coke plant wastewater using an anaerobic-anoxic-oxic membrane bioreactor system [J]. Separation and Purification Technology, 2009, 66 (2) · 279-286.
- [9] 修光利, 张晓峰, 赵康, 等. 中空纤维膜生物反应器处理二甲苯废气[J]. 环境工程学报, 2010, **4**(10): 2287-2292.
- [10] Kumar A, Dewulf J, Vercruyssen A, et al. Performance of a composite membrane bioreactor treating toluene vapors: Inocula selection, reactor performance and behavior under transient conditions [J]. Bioresource Technology, 2009, 100(8): 2381-2387.
- [11] 赵阳. 膜生物反应器处理挥发性有机废气研究[D]. 大连: 大连理工大学, 2010. 42-45.
- [12] 孙珮石,杨显万,谢蕴国,等. 生物法净化低浓度挥发性有 机废气的动力学问题探讨[J]. 环境科学学报,1999,19 (2):153-158.
- [13] Zhao Y, Liu Z J, Liu F X, et al. Cometabolic degradation of trichloroethylene in a hollow fiber membrane reactor with toluene as a substrate[J]. Journal of Membrane Science, 2011, 372(1-2): 322-330.
- [14] Kim D J, Kim H. Degradation of toluene vapor in a hydrophobic polyethylene hollow fiber membrane bioreactor with *Pseudomonas* putida [J]. Process Biochemistry, 2005, 40(6): 2015-2020.
- [15] Kumar A, Dewulf J, Luvsanjamba M, et al. Continuous operation of membrane bioreactor treating toluene vapors by Burkholderia vietnamiensis G4 [J]. Chemical Engineering Journal, 2008, 140(1-3): 193-200.
- [16] 冷玲, 张迹, 李顺鹏. 甲苯降解菌 JB-1 的分离、鉴定与降解 特性[J]. 应用与环境生物学报, 2010, **16**(1): 118-121.

### **HUANJING KEXUE**

Environmental Science (monthly)

Vol. 33 No. 8 Aug. 15, 2012

### **CONTENTS**

Levels and Sources of Gaseous Polybrominated Diphenyl Ethers in Air over the Northern South China Sea	II Oi by III Ive IIII Vieng et al. (2533)
Observation and Analysis of Air Pollution in Zhangjiakou, Hebei	SHAO Ping WANG Lish AN Junshin et al. (2538)
Smog Chamber Simulation of Ozone Formation from Atmospheric Photooxidation of Propane	
Mechanism and Performance of a Membrane Bioreactor for Treatment of Toluene Vapors	
Analysis of Odor Pollutants in Kitchen Waste Composting	ZHANG Hong-yu ZOU Ke-hua YANG lin-hing et al. (2563)
Spatial Changes and Sources of Nitrate in Beijing Urban Ecosystem Surface Water	
Distribution Characteristics and Potential Risk of PCBs in Surface Water from Three Tributaries of Yangtze River in Different Periods	
Distribution Characteristics and Potential Risks of Phenols in the Rainy Season Surface Water from Three Gorges Reservoir	
Spatial Distribution of Perfluorooctanoic Acids and Perfluorinate Sulphonates in Surface Water of East Lake	
Characteristics of Heavy Metal Pollution in Daninghe River and Modaoxi River of Three Gorges Reservoir Areas	
Pollution Characteristics and Ecological Risk Assessment of Heavy Metals in the Surface Sediments of the Yangtze River	
Analysis of the Source, Potential Biological Toxicity of Heavy Metals in the Surface Sediments from Shellfish Culture Mudflats of Ru	
	LI Lei, WANG Yun-long, JIANG Mei, et al. (2607)
Effect of Disturbance Intensity on Phosphorus Release and Its Transformation in the Sediment from Taihu Lake	LI Da-peng, HUANG Yong (2614)
Effects of Intrusions from Three Gorges Reservoir on Nutrient Supply to Xiangxi Bay	ZHANG Yu, LIU De-fu, JI Dao-bin, et al. (2621)
Influence of Perennial Flooding and Drought on Growth Restoration of Acorus calamus in Water-level-fluctuation Zone of the Three G	orges Reservoir ·····
	LI Qiang, GAO Xiang, DING Wu-quan, et al. (2628)
Pollution Load and the First Flush Effect of Phosphorus in Urban Runoff of Wenzhou City	ZHOU Dong, CHEN Zhen-lou, BI Chun-juan (2634)
Output Characteristics of Rainfall Runoff Phosphorus Pollution from a Typical Small Watershed in Yimeng Mountainous Area	YU Xing-xiu, LI Zhen-wei, LIU Qian-jin, et al. (2644)
Influence of Land Use Structure on Nitrogen Output in the Watershed of Suburban Agriculture Regions	
Simulation of Nitrogen and Phosphorus Loss in Siling Reservoir Watershed with AnnAGNPS	
GIS and L-THIA Based Analysis on Variations of Non-point Pollution in the Guanlan River Watershed, Shenzhen	BAI Feng-jiao, LI Tian-hong (2667)
Response of Sloping Water Erosion to Rainfall and Micro-earth Pattern in the Loess Hilly Area	
Comparison Study of Enhanced Coagulation on Humic Acid and Fulvic Acid Removal	······ ZHOU Ling-ling, ZHANG Yong-ji, YE He-xiu, et al. (2680)
Real-time PCR Detection and Quantification of Emerging Waterborne Pathogens (EWPs) and Antibiotic Resistance Genes (ARGs)	in the Downstream Area of Jiulong River ·····
Quantitative and Qualitative Analysis of Total Bacteria and Ammonia-oxidizing Bacteria in Buji River in Wet Season	
Study on the Nitrogen Removal Performance and the Characteristics of Denitrification Bacterial Community Structure of Biological Activation	
Analysis of Microbial Community Structure at Full-scale Wastewater Treatment Plants by Oxidation Ditch	GUO Yun, YANG Dian-hai, LU Wen-jian (2709)
Performance and Microbial Community Dynamic Characteristics of an Internal Circulation Reactor Treating Brewery Wastewater	
Coupling AFM Fluid Imaging with Micro-Flocculation Filtration Process for the Technological Optimization	
Study on Removal Effect of Different Organic Fractions from Bio-treated Effluent of Dye Wastewater by UV/H <sub>2</sub> O <sub>2</sub> Process	
Optimization of Chlorella pyrenoidosa-15 Photoheterotrophic Culture and Its Use in Wastewater Treatment	
Characteristics and Mechanism of 2,4,6-TCP Degradation by the "Fe <sup>0</sup> /Enriched-Bacteria" System	
Immobilization of Crude Laccase onto Anion Exchange Resin and Its Application in Decoloration of Malachite Green	
$Low-Temperature\ Preparation\ of\ TiO_2/PS/Fe_3O_4\ and\ Its\ Photocatalytic\ Activity\ and\ Magnetic\ Recovery$	·· WANG Xue-jiao, REN Xue-chang, NIAN Juan-ni, et al. (2752)
Study on Catalytic Oxidation of Benzene by Microwave Heating	
Synergistic Effects of Nano-sized Magnetic Particles and Uncoupler to the Characteristics of Activated Sludge	
Experimental and Modeling Research on the Settlement of Aerobic Granular Sludge	
Analysis of Hydrolytic Enzyme Activities on Sludge Aerobic/Anoxic Digestion After Ultrasonic Pretreatment	
Effect of Microbial Nutrient Concentration on Improvement of Municipal Sewage Sludge Dewaterability Through Bioleaching	
Response of the Artificial Cyanobacterial Crusts to Low Temperature and Light Stress and the Micro-structure Changes Under Laborat	tory Conditions
Seasonal Dynamics of Soil Active Carbon Pool in a Purple Paddy Soil in Southwest China	
Pollution Characteristics and Accumulation of Antibiotics in Typical Protected Vegetable Soils	
Transformation and Influences of Copper and Selenium Fractions on Heavy Metals Bioavailability in Co-contaminated Soil	
Response of Soil Microbial Community to the Bioremediation of Soil Contaminated with PAHs	
Bioremediation of PAHs Contaminated Soil from Beijing Coking Plant by Lasiodiplodia theobromae	
Leaching Experiments on the Release of Trace Elements from Tailings of Chashan Antimony Mine, Guangxi, China	
Accumulation Characteristics of Arsenic in Suburban Soils of Beijing	
Antioxidant Enzyme Gene Expression as Molecular Biomarkers of Exposure to Polycyclic Musks	
Effects of Ozone Pollution on the Accumulation and Distribution of Dry Matter and Biomass Carbon of Different Varieties of Wheat	
Influence of Reaction Time of Urea Hydrolysis-Based Co-precipitation on the Structure of ZnAl Layered Double Hydroxides and the I	rnospnate Adsorption
0 et al. et 10 et al. 102+ N. HADO 6	
Competitive Adsorption Kinetics of Aqueous Pb <sup>2+</sup> and Cu <sup>2+</sup> on Nano-HAP Surfaces	
Effects of pH and Ni <sup>2+</sup> on Sorption Behavior of Phenanthrene on Engineered Nano-Silica	
Adsorption Characteristics and Mechanism of Uranium on Attapulgite	
Adsorption Characteristics of Ciprofloxacin in Ustic Cambosols	
Kinetic Mechanism and Characteristics Researches for Hydrazine-based NO <sub>x</sub> Removal at Moderate to High Temperatures	
Current Research Situation of H <sub>2</sub> S Selective Catalytic Oxidation Technologies and Catalysts	···· HAU Zheng-ping, DUU Guang-yu, ZHANG Xin, et al. (2909)

# 《环境科学》第6届编辑委员会

主 编:欧阳自远

副主编:赵景柱 郝吉明 田 刚

编 委:(按姓氏笔画排序)

万国江 王华聪 王凯军 王绪绪 田 刚 田 静 史培军

朱永官 刘志培 汤鸿霄 陈吉宁 孟 伟 周宗灿 林金明

欧阳自远 赵景柱 姜 林 郝郑平 郝吉明 聂永丰 黄 霞

黄耀 鲍强潘纲潘涛魏复盛

# 环枪种草

#### (HUANJING KEXUE)

(月刊 1976年8月创刊) 2012年8月15日 33卷 第8期

#### ENVIRONMENTAL SCIENCE

(Monthly Started in 1976)

Vol. 33 No. 8 Aug. 15, 2012

主	管	中国科学院	Superintended	by	Chinese Academy of Sciences
主	办	中国科学院生态环境研究中心	Sponsored	by	Research Center for Eco-Environmental Sciences, Chinese
协	办	(以参加先后为序)			Academy of Sciences
		北京市环境保护科学研究院	Co-Sponsored	by	Beijing Municipal Research Institute of Environmental
		清华大学环境学院			Protection
主	编	欧阳自远			School of Environment, Tsinghua University
编	辑	《环境科学》编辑委员会	Editor-in -Chief		OUYANG Zi-yuan
<b>⊅</b> ₩	<del>1</del> 4	北京市 2871 信箱(海淀区双清路	Edited	by	The Editorial Board of Environmental Science (HUANJING
		18 号,邮政编码:100085)			KEXUE)
		电话:010-62941102,010-62849343			P. O. Box 2871, Beijing 100085, China
		传真:010-62849343			Tel:010-62941102,010-62849343; Fax:010-62849343
		E-mail; hjkx@ rees. ac. cn			E-mail; hjkx@ rcees. ac. cn
		http://www.hjkx.ac.cn			http://www. hjkx. ac. cn
出	版	4 星 虫 版 社	Published	by	Science Press
щ	///	北京东黄城根北街 16 号			16 Donghuangchenggen North Street,
		邮政编码:100717			Beijing 100717, China
印刷装	ìΤ	北京北林印刷厂	Printed	by	Beijing Bei Lin Printing House
发	行	<b>斜学出版社</b>	Distributed	by	Science Press
		电话:010-64017032			Tel:010-64017032
		E-mail:journal@mail.sciencep.com			E-mail:journal@mail.sciencep.com
订 购	处	全国各地邮电局	Domestic		All Local Post Offices in China
国外总发	対行	中国国际图书贸易总公司	Foreign		China International Book Trading Corporation (Guoji
		(北京 399 信箱)			Shudian), P. O. Box 399, Beijing 100044, China

中国标准刊号: ISSN 0250-3301 CN 11-1895/X

国内邮发代号: 2-821

国内定价:70.00元

国外发行代号: M 205

国内外公开发行